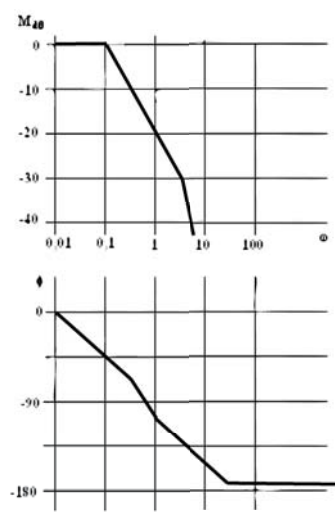


Misure meccaniche e termiche. Grandezze tempo-varianti Vallasca Patanè
CORREZIONI AL *TESTO*

Il testo delle correzioni è evidenziato in **rosso sulla colonna di destra**. Le formule ed i grafici vanno **sostituiti**.

<p>pag.53 dopo</p> $R_e = \lim_{T \rightarrow 0} \frac{\omega \cos \omega T}{\omega} = \lim_{T \rightarrow 0} \cos \omega T = 1$ <p>Aggiungere tutto il riquadro a lato</p>	$I_m = \lim_{T \rightarrow 0} \frac{\cos \omega T - 1}{\omega T} =$ $\lim_{T \rightarrow 0} -\omega \frac{\sin \omega T}{\omega} = 0$ <p>da cui</p> $Q_i(j\omega) = 1 + 0j$
<p>Pag. 60 ultimo comma per una funzione random esistono frequenze discrete non isolate</p>	<p>per una funzione random non esistono frequenze discrete o isolate</p>
<p>Pag 62 una forma particolare di $\Phi_0(\omega)$</p>	<p>una forma particolare di $\Phi(\omega)$</p>
<p>Pagg. 100 e 102 il cui integrale generale</p>	<p>L'integrale generale</p>
<p>Pag. 109 quarta riga</p> $q_o = Kq_{is} [1 - (1 + \omega_n t) e^{-\omega_n t}]$	$q_o = Kq_{is} [1 - (1 + \omega_n t) e^{-\xi \omega_n t}]$
<p>Pag. 118 ultima riga</p> $\cos(\omega t - \frac{\phi}{2})$	$\cos(-\frac{\phi}{2})$
<p>Pag. 125 Figura 11.1 invertire i parametri nel diagramma della fase .</p>	
<p>Pag. 135 La nuova retta interseca l'asse delle ordinate nel punto:</p>	<p>La nuova retta interseca l'asse delle ordinate nel punto:</p> $P_2 = \frac{\tau_2}{\tau_1 - \tau_2}$ <p>che si trova ponendo $t = 0$ nella relazione:</p>
<p>Pag 140</p> $V_b \rho_m c_m dt_m$	$V_b \rho_m c_m dT_m$
<p>Pag 145</p> $\xi = \frac{80 * 0,00155}{13595 * 10^{-6}} \sqrt{\frac{2}{9,806}}$	$\xi = \frac{8 * 0,00155}{13595 * 10^{-6}} \sqrt{\frac{2}{9,806}}$
<p>Pag 146</p> $\xi = \frac{10,2}{2 * 0,707} =$	$\xi = \frac{10,2 * 0,707}{2} = 3,6$
<p>Pag 149</p> $\omega_n \geq \left(\frac{\omega_n}{0,6} \right)$	$\omega_n \geq \left(\frac{\omega}{0,6} \right)$
<p>Pag 164 inoltre la R_f limita</p>	<p>inoltre la R_s limita</p>
<p>Pag 165 Figura 13.14 AV_s</p>	<p>AV_i</p>
<p>Pag 209 ultima riga per $\omega = \omega_n$, qualunque ...</p>	<p>per $\omega = \omega_n = \omega_b$, qualunque ...</p>
<p>Pag 210 Figura 15.19 Manca un segmento nelle suddivisioni della griglia verticale. Modificare le didascalie degli assi.</p>	<p>Modulo normalizzato Frequenza normalizzata</p>
<p>Pag 210 la radice vale $s = 1$</p>	<p>la radice vale $s = -1$</p>
<p>Pag 211</p> $\xi_1 = \cos \frac{\pi}{8} = 0,382$ $\xi_2 = \cos \frac{\pi}{6} = 0,924$	$\xi_1 = \cos \left(\frac{\pi}{8} + \frac{\pi}{4} \right) = \cos \frac{3\pi}{8} = 0,382$ $\xi_2 = \cos \frac{\pi}{8} = 0,924$

<p>Pag 215 il modulo diventa: $\left \frac{V_o}{V_s} \right = \frac{1}{\sqrt{1 + (2\pi f R_1 C)^4}}$</p>	<p>il modulo diventa: $\left \frac{V_o}{V_s} \right = \frac{A_f}{\sqrt{1 + (2\pi f R_1 C)^4}}$</p>
<p>Pag 227 Figura 16.10 scambiare il collegamento fra il bit A ed il bit B.</p>	
<p>Pag 248 ultima riga a campionamento che permettono</p>	<p>a campionamento random che permettono</p>
<p>Pag 310 d'ingresso. S'immagini di suddividere.</p>	<p>d'ingresso. k caratterizza la lunghezza utile della griglia. S'immagini di suddividere</p>
<p>Pag 146 Figura 6 sostituire il diagramma con quello riportato.</p>	 <p>The figure contains two Bode plots. The top plot is the magnitude response, labeled M_{40} on the y-axis (ranging from 0 to -40 dB) and ω on the x-axis (logarithmic scale from 0.01 to 100). The curve is flat at 0 dB until $\omega = 0.1$, then decreases with a slope of -40 dB/decade, reaching -40 dB at $\omega = 10$. The bottom plot is the phase response, labeled ϕ on the y-axis (ranging from 0 to -180 degrees) and ω on the x-axis (logarithmic scale from 0.01 to 100). The curve starts at 0 degrees, decreases to -90 degrees at $\omega = 1$, and reaches -180 degrees at $\omega = 10$.</p>